



ELSEVIER

www.elsevier.nl/locate/jorgchem

Journal
of Organo-
metallic
Chemistry

Journal of Organometallic Chemistry 585 (1999) 341–347

Kondensationen von Silylhydrazinen und Estern zu Silylhydrazenen und Pyrazolnen

Henning Witte-Abel, Christian Drost, Uwe Klingebiel *, Mathias Noltemeyer

Institut für Anorganische Chemie der Universität Göttingen, Tammannstraße 4, D-37077 Göttingen, Germany

Eingegangen am 18 März 1998

Abstract

Acetoacetic- and 4-oxopentanoic-acid-ethylester-*N*-tri(organyl)silylhydrazones (**1–4**), $R_2R'Si-NH-N=CMe-(CH_2)_n-COOEt$; **1**: $R = CMe_3$, $R' = C_6H_5$, $n = 1$; **2**: $R = CMe_3$, $R' = Me$, $n = 1$; **3**: $R = CHMe_2$, $R' = CMe_3$, $n = 1$; **4**: $R = CMe_3$, $R' = C_6H_5$, $n = 2$) are obtained as cis/trans isomers by condensation of tri(organyl)silylhydrazines and acetoacetic (**1–3**)- or 4-oxopentanoic-acid-ethylesters (**4**). Heating **1–3** form ethanol and *O*-silylpyrazolones (**5–7**) by a 1,3-*N*,*O*-silyl group migration. Complex **7** reacts with $ClSiMe_3$ in the presence of Et_3N in a substitution of the NH group to give 5-siloxo-3-methyl-2-trimethylsilyl-pyrazolone, **8**. In a molar ratio 2:1 the analogous reaction of **1** and Cl_2SiMe_2 leads to the formation of the bis(5-siloxo-3-methyl)-1,2-diaza-3,5-cyclopentadienyl)dimethylsilane **9**. The crystal structures of **5** and **9** are reported.

Zusammenfassung

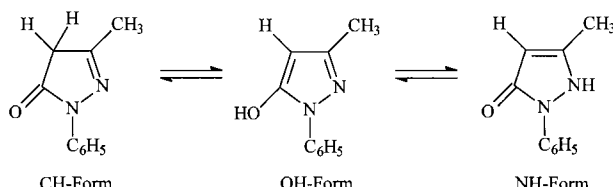
Acetessigsäure- und 4-Oxopentansäure-ethylester-*N*-triorganylsilyl-hydrazone (**1–4**), $R_2R'Si-NH-N=CMe-(CH_2)_n-COOEt$; **1**: $R = CMe_3$, $R' = C_6H_5$, $n = 1$; **2**: $R = CMe_3$, $R' = Me$, $n = 1$; **3**: $R = CHMe_2$, $R' = CMe_3$, $n = 1$; **4**: $R = CMe_3$, $R' = C_6H_5$, $n = 2$) entstehen als cis/trans-Isomere in der Kondensation des Tri(organyl)silylhydrazins mit Acetessig- (**1–3**)- bzw. 4-Oxo-pentansäure-ethylester (**4**). **1–3** bilden beim Erhitzen Ethanol und in einer Silylgruppenwanderung *O*-Silylpyrazolane (**5–7**). Komplex **7** reagiert mit $ClSiMe_3$ bei Anwesenheit von Et_3N unter Substitution der NH-Funktion zum 5-Siloxo-3-methyl-2-trimethylsilyl-pyrazolon, **8**. Im molaren Verhältnis 2:1 entsteht aus **1** und Cl_2SiMe_2 in analoger Reaktion das Bis(5-siloxo-3-methyl)-1,2-diaza-3,5-cyclopentadienyl)dimethylsilan, **9**. Die Kristallstrukturen von **5** und **9** werden vorgestellt. © 1999 Elsevier Science S.A. All rights reserved.

Keywords: Silylhydrazones; *O*-Siloxypyrazolones; Silyl group migration; Bis(1,2-diaza-3,5-cyclopentyldienyl)silane

1. Einleitung

Pyrazolinone entstehen durch cyclisierende Kondensation von Hydrazinderivaten mit β -Ketosigsäureestern, z.B. erhält man aus Phenylhydrazin und Acetessigsäure unter Wasser- und Alkoholabspaltung das 3-Methyl-1-phenyl-5-pyrazolinon [1]. Pyrazolinone sind Ausgangsstoffe für Farbstoffe (z.B. Pyrazolonblau)

und wichtiger Arzneimittel (z.B. Phenanzon). Sie können in drei tautomeren Formen auftreten [1]. In unpolaren Lösungsmitteln liegt die CH-Form vor, während in Wasser beim 3-Methyl-1-phenyl-5-pyrazolinon 90% der NH-Form mit 10% der OH-Form in einem Gleichgewicht stehen [1].



* Korrespondenzautor. Tel.: +49-551-393052; fax: +49-551-393373.

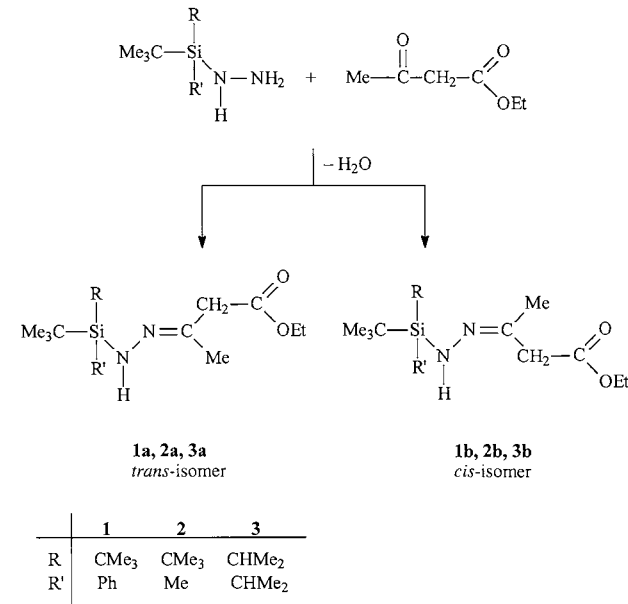
E-mail address: uklinge@gwdg.de (U. Klingebiel)

Wir untersuchen seit einigen Jahren Reaktionen von Hydrazonen mit Halogensilanen und isolierten acyclischen und cyclischen Siliciumderivate der Organylhydrazone [2]. Die Synthese von Monosilylhydrazinen führte vor kurzem in Kondensationsreaktionen mit Ketenen und Aldehyden zu Silylhydrazonen, z.B. zur Darstellung stabiler *N*-Silylformaldehydhydrazone [3]. Die Anwesenheit von Wasser beeinträchtigte die Bildung der Silylhydrazone nicht. Dies veranlaßte uns, Kondensationsreaktionen der Monosilylhydrazine mit Ketosäureestern durchzuführen. Erste Resultate dieser Chemie stellen wir im Rahmen dieser Arbeit vor.

2. 2. Ergebnisse und Diskussion

2.1. Silylhydrazone

Analog organisch substituierter Hydrazine reagieren Monosilylhydrazine mit Acetessigsäureethylester unter Wasserabspaltung; es entstehen Silylhydrazone (**1–3**).

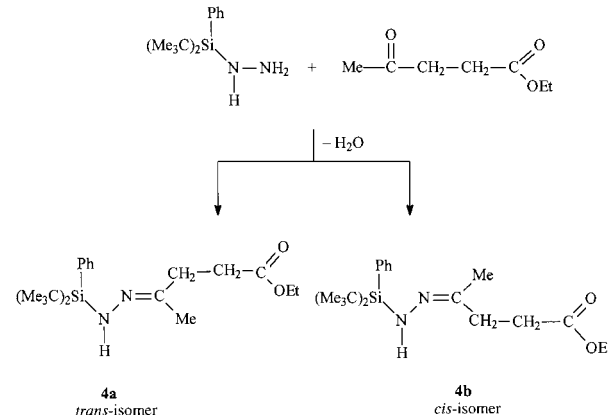


Die Silylhydrazone **1–3** sind unter verminderter Druck unzersetzt destillierbar. Die Spaltung der Si–N-Bindung durch einen nucleophilen Angriff des bei der Reaktion gebildeten Wassers wird unter den gewählten Reaktionsbedingungen (siedendes *n*-Hexan) nicht beobachtet. Die Hydrazone entstehen als *cis/trans*-Isomerengemische (**1a:1b** = 2,7:1; **2a:2b** = 4,4:1; **3a:3b** = 2,5:1). Aus sterischen Gründen ist das *trans*-Konformere begünstigt.

Die Gemische lassen sich destillativ nicht trennen. Die Signale in den NMR-Spektren erlauben dennoch eine eindeutige Zuordnung. Entscheidendes Kriterium ist hierbei die ¹³C-NMR-Verschiebung der Methylgruppe, die am Hydrazon-Kohlenstoffatom gebunden

ist. Befindet sich diese Methylgruppe in *trans*-Stellung, so tritt sie im ¹³C-NMR-Spektrum bei 10–15 ppm zu höherem Feld verschoben in Resonanz als eine Methylgruppe in *cis*-Position (s. Tabelle 1).

Am Beispiel der Umsetzung des Di-*tert*-butylphenylhydrazins mit 4-Oxovaleriansäureethylester konnten wir zeigen, daß auch längerkettige Ester mit Silylhydrazinen Kondensationsverbindungen bilden.



Das Isomerenverhältnis **4a:4b** beträgt 6:1.

2.2. O-Silylpyrazolone

Phenylhydrazone, die in Reaktionen des Phenylhydrazins mit Acetessigsäureestern erhalten werden, kondensieren oberhalb 100°C zu fünfgliedrigen Heterocyclen, den Pyrazolonen, in der CH-Form. Die isomeren Gemische der Silylhydrazone **1–3** kondensieren intramolekular zu Ethanol und den *O*-Silylpyrazolonen **5–7**.

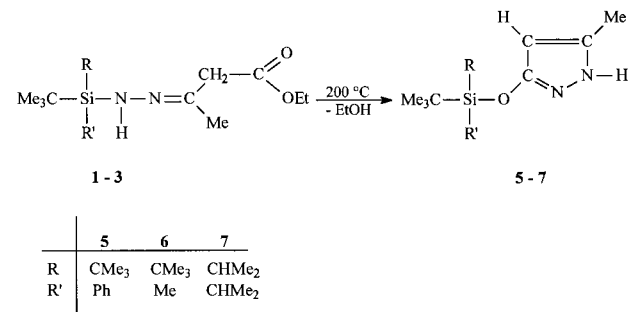
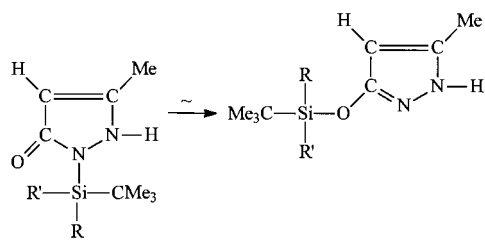


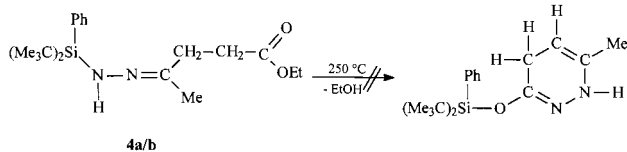
Tabelle 1
¹³C-NMR-Daten der Methylgruppen am Hydrazon-Kohlenstoffatom

	1a	2a	3a
δ ¹³ C (Me _{trans}) (ppm)	12.44	12.58	12.28
δ ¹³ C (Me _{cis}) (ppm)	1b	2b	3b
	24.48	24.26	24.41

Komplexe **5–7** sind luft- und hydrolysebeständige Feststoffe. Sie kristallisieren nach der Destillation. Im Gegensatz zu den Phenylverbindungen wird die CH-Form der Silylpyrazolone nicht isoliert.



Thermisch angeregt erfolgt eine 1,3-Silylgruppenwanderung vom Stickstoffatom zum Carbylsauerstoff. In acyclischen Systemen führt das Bestreben der Silylgruppen zum elektronegativsten Atom im Molekül zu wandern zur Synthese von Ketiminien [4], Silenen [5] und Phosphenen [6]. Komplexe **1–3** sind die ersten *O*-Silyl-substituierten Pyrazolone, die aus Monosilylhydrazinen erhalten wurden. Die tautomere Form mit einer NH-Funktionalität ist bislang bei Silylpyrazolonen einzigartig. Versuche, die Hydrazone **4a** und **4b** unter Alkoholabspaltung zu cyclisieren, blieben bis 250°C erfolglos. Ein Grund hierfür kann die fehlende Aromatizität des sechsgliedrigen Heterocyclus und der somit ausbleibende Energiegewinn sein.



2.3. Kristallstruktur des *O*-Silylpyrazolons **5**

Komplex **5** kristallisiert aus *n*-Hexan in der triklinen Raumgruppe $P\bar{1}$ in Form farbloser Einkristalle (Abb. 1).

Die interatomaren Abstände im Pyrazolonring liegen zwischen einer Einfach- und einer Doppelbindung, was für die Aromatizität des Systems spricht. Der Pyrazolonring ist mit einer Winkelsumme von 540° planar. Die Winkel an C(3) und N(2) sind mit 112.73 bzw. 112.74° etwas aufgeweitet. Dagegen sind die Winkel an N(1), C(2) und C(1) mit 103.15, 104.73 bzw. 106.63° etwas verkleinert. Der Si–O-Abstand beträgt 166.26 pm und der Winkel am Sauerstoff 135.51° (Tabelle 2).

2.4. Substitution an *O*-Silylpyrazolonen

Das am Stickstoff gebundene Wasserstoffatom der Pyrazolone **1–3** zeigt im $^1\text{H-NMR}$ -Spektrum eine chemische Verschiebung im Bereich von $\delta = 9–10$ ppm. Daraus leitet sich eine deutliche Acidität ab. Es ist daher möglich, Substitutionsreaktionen an diesem Stickstoffatom durchzuführen. Wird **3** mit Chlortrimethylsilan in

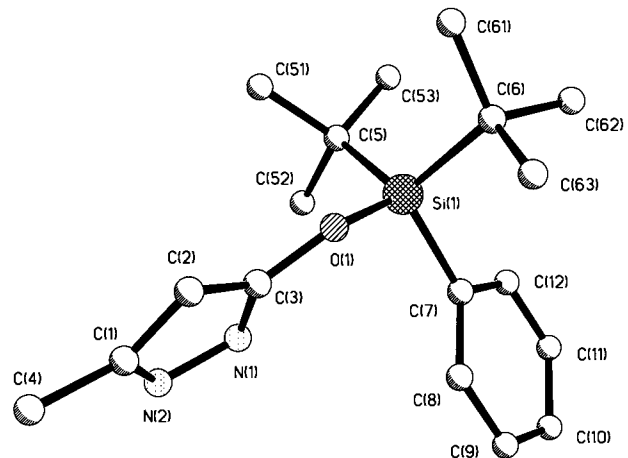


Abb. 1. Kristallstruktur des *O*-Silylpyrazolons **5**, ausgewählte Bindungsängste (pm) und -winkel ($^\circ$): Si(1)–O(1) 166.26(10), Si(1)–C(7) 188.0(2), Si(1)–C(6) 190.2(2), Si(1)–C(5) 190.5(2), O(1)–C(3) 135.4(2), N(2)–C(1) 134.4(2), N(2)–N(1) 137.4(2), N(1)–C(3) 132.3(2), C(1)–C(2) 137.1(2), C(2)–C(3) 140.0(2); C(3)–O(1)–Si(1) 135.51(9), C(1)–N(2)–N(1) 112.74(12), C(3)–N(1)–N(2) 103.15(12), N(2)–C(1)–C(2) 106.63(13), C(1)–C(2)–C(3) 104.73(13), N(1)–C(3)–C(2) 112.73(13).

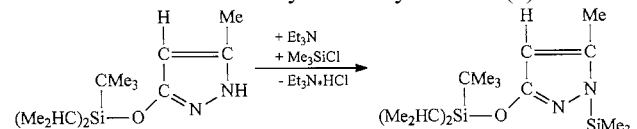
Tabelle 2

Atomkoordinaten ($\times 10^4$) und äquivalente isotrope Auslenkungsparameter ($\text{pm}^2 \times 10^{-1}$) für **5**^a

	x	y	z	U_{eq}
Si(1)	3694(1)	3737(1)	2581(1)	21(1)
O(1)	4167(1)	3035(1)	1425(1)	27(1)
N(2)	1374(2)	3456(2)	−303(1)	29(1)
N(1)	1725(2)	3856(2)	573(1)	31(1)
C(1)	2698(2)	2403(2)	−749(1)	26(1)
C(2)	3981(2)	2047(2)	−135(1)	25(1)
C(3)	3308(2)	2980(2)	661(1)	24(1)
C(4)	2622(2)	1866(2)	−1751(2)	40(1)
C(5)	2395(2)	2756(2)	3633(1)	30(1)
C(51)	2923(3)	1055(2)	3499(2)	44(1)
C(52)	568(2)	3650(2)	3410(2)	45(1)
C(53)	2553(2)	2705(2)	4856(1)	38(1)
C(6)	5829(2)	3259(2)	2978(1)	24(1)
C(61)	6770(2)	1490(2)	3398(1)	37(1)
C(62)	5751(2)	4114(2)	3876(2)	39(1)
C(63)	6806(2)	3819(2)	1923(1)	39(1)
C(7)	2583(2)	5936(2)	2222(1)	25(1)
C(8)	2503(2)	6769(2)	1110(1)	31(1)
C(9)	1769(2)	8403(2)	834(2)	41(1)
C(10)	1111(2)	9243(2)	1669(2)	44(1)
C(11)	1171(2)	8449(2)	2776(2)	43(1)
C(12)	1888(2)	6821(2)	3050(1)	35(1)

^a U_{eq} wird berechnet als ein Drittel der Spur des orthogonalen U_{ij} -Tensors.

Gegenwart von Triethylamin als Säurefänger umgesetzt, entsteht ein zweifach silyliertes Pyrazolon (**8**).



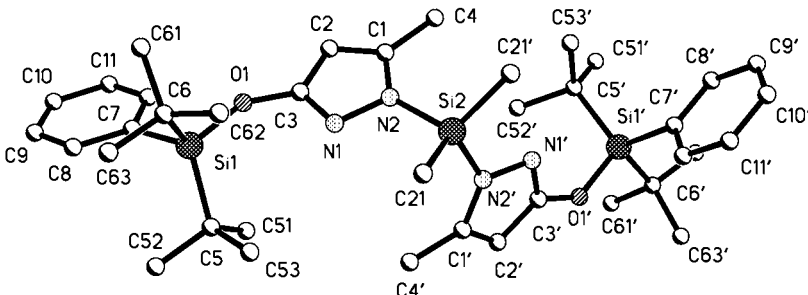
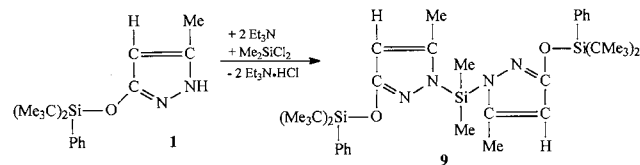


Abb. 2. Röntgenstruktur der Verbindung **9**, ausgewählte Bindungslängen (pm) und -winkel (°): Si(2)-O(1) 166.3(2), N(1)-C(3) 131.5(3), O(1)-C(3) 134.3(3), C(1)-C(2) 135.5(4), C(1)-N(2) 136.9(4), N(1)-N(2) 139.7(3), C(2)-C(3) 139.7(4), C(1)-C(4) 150.0(4), Si(2)-N(2) 176.2(2); C(3)-N(1)-N(2) 104.3(2), C(1)-C(2)-C(3) 105.2(2), C(2)-C(1)-N(2) 107.8(2), N(2)-Si(2)-N(2') 107.92(11), C(1)-N(2)-N(1) 109.9(2), N(1)-C(3)-C(2) 112.8(2), N(1)-N(2)-Si(2) 117.0(2), N(2)-C(1)-C(4) 123.4(3), O(1)-C(3)-C(2) 123.5(2), N(1)-C(3)-C(2) 112.8(2), C(2)-C(1)-C(4) 128.7(3), C(1)-N(2)-Si(2) 132.9(2), C(3)-O(1)-Si(1) 138.7(2).

Dichlormethylsilan reagiert mit zwei Äquivalenten von **1** zum 1,2-Diaza-3,5-cyclopentadienyl-dimethylsilan, **9**.



Komplex **9** ist das erste Silan, das zweifach durch *O*-Silylpyrazolone substituiert ist. Farblose Einkristalle können aus *n*-Hexan erhalten werden.

2.5. Kristallstruktur von **9**

Komplex **9** kristallisiert in der triklinen Raumgruppe $P\bar{1}$. Das Si(2)-Atom bildet das kristallographische Inversionszentrum des Moleküls. Der Si(2)-N(2)-Abstand liegt bei 176.2 pm. Der Winkel N(2)-Si(2)-N(2') beträgt 107.92° und entspricht damit dem Tetraederwinkel. Etwas größer als ein Tetraederwinkel ist C(21)-Si(2)-C(21') mit 112.6°. Die Pyrazoloneinheiten sind planar und aufgrund der Atomabstände, die zwischen einer Einfach- und einer Doppelbindung liegen, aromatisch. Der Si(1)-O(1)-Abstand beträgt 166.6 pm und ist damit gegenüber dem in **1** (166.3 pm) kaum verändert (Abb. 2, Tabelle 3).

3.3. Experimenteller Teil

MS: CH-5 Spektrometer Varian. NMR-Spektren: 30%ige Lösungen in CDCl_3 : TMS int., MeNO_2 ext.: ^1H -, ^{13}C -, ^{29}Si -NMR-Spektren: 250 MHz Spektrometer, ^{15}N -NMR-Spektren: 400 MHz Spektrometer. C, H, N-Elementaranalysen bestätigen die Reinheit der Verbindungen.

3.1. Verbindungen **1–4**

0.03 mol Di-*tert*-butylphenylsilylhydrazin (**1**, **4**), 0.03 mol Di-*tert*-butylmethylsilylhydrazin (**2**) bzw. 0.03 mol *tert*-Butyldiisopropylsilylhydrazin (**3**) werden in 100 ml *n*-Hexan gelöst und langsam bei Raumtemp. mit 0.03 mol Acetessigsäureethylester (**1–3**) bzw. mit 0.03 mol 4-Oxavaleriansäureethylester (**4**) versetzt. Die Reaktionslösung wird 1 h unter Rückfluß erhitzt. Nach Abkühlung auf Raumtemp. wird die wäßrige Phase abgetrennt. Komplexe **1–4** werden als Isomerengemische durch Destillation im Ölumpenvakuum erhalten.

3.1.1. *trans*-Acetessigsäureethylester-*N*-(di-*tert*-butylphenylsilyl)hydrazone (**1a**)

$\text{C}_{20}\text{H}_{34}\text{N}_2\text{O}_2\text{Si}$ (362.59). Ausbeute: 55%. Sdp. 138°C/0.01 mbar. MS (FI): m/z (%) 362(100) [M^+]; NMR: ^1H -NMR: δ 0.91 (OCH_2Me , t, $^3J_{\text{HH}} = 7.1$ Hz, 3 H), 1.16 (CMe_3 , 18 H), 1.50 ($\text{N}=\text{C}-\text{Me}$, 3 H), 3.09 ($\text{N}=\text{C}-\text{CH}_2$, 2 H), 3.88 (OCH_2 , q, $^3J_{\text{HH}} = 7.1$ Hz, 2 H), 5.28 (NH , 1 H), 7.2–7.8 (C_6H_5 , m, 5 H); ^{13}C -NMR: δ 12.44 ($\text{N}=\text{C}-\text{Me}$), 14.17 (OCH_2Me), 20.58 (CMe_3), 29.09 (CMe_3), 44.56 ($\text{N}=\text{C}-\text{CH}_2$), 60.29 (OCH_2Me), 127.70 [Ph (C-2, C-6/C-3, C-5)], 129.24 [Ph (C-1/C-4)], 135.75 [Ph (C-2, C-6/C-3, C-5)], 135.89 [Ph (C-1/C-4)], 138.62 ($\text{N}=\text{C}$), 170.35 ($\text{C}=\text{O}$); ^{29}Si -NMR: δ –2.37.

3.1.2. *cis*-Acetessigsäureethylester-*N*-(di-*tert*-butylphenylsilyl)hydrazone (**1b**)

$\text{C}_{20}\text{H}_{34}\text{N}_2\text{O}_2\text{Si}$ (362.59). Ausbeute: 20%. ^1H -NMR: δ 0.91 (OCH_2Me , t, $^3J_{\text{HH}} = 7.1$ Hz, 3 H), 1.21 [$(\text{CMe}_3)_2$, 18 H], 1.88 ($\text{N}=\text{C}-\text{Me}$, 3 H), 2.91 ($\text{N}=\text{C}-\text{CH}_2$, 2 H), 3.88 (OCH_2 , q, $^3J_{\text{HH}} = 7.1$ Hz, 2 H), 6.13 (NH , 1 H), 7.2–7.8 (C_6H_5 , m, 5 H); ^{13}C -NMR: δ 14.11 (OCH_2Me), 20.59 [$(\text{CMe}_3)_2$], 24.48 ($\text{N}=\text{C}-\text{Me}$), 29.07 [$(\text{CMe}_3)_2$], 36.00 ($\text{N}=\text{C}-\text{CH}_2$), 61.02 (OCH_2Me), 127.68 [Ph (C-2, C-6/C-3, C-5)], 129.18 [Ph (C-1/C-4)], 135.77 [Ph (C-2, C-6/C-3, C-5)], 135.89 [Ph (C-1/C-4)], 136.47 ($\text{N}=\text{C}$), 168.36 ($\text{C}=\text{O}$); ^{29}Si -NMR: δ –2.15.

3.1.3. *trans*-Acetessigsäureethylester-*N*-(di-*tert*-butyl-methylsilyl)hydrazone (2a**)**

$C_{15}H_{32}N_2O_2Si$ (300.52). Ausbeute: 64%. Sdp. 80°C/0.01 mbar. MS (EI): m/z (%) 300(9) [$M]^+$, 243(100) [$M-CMe_3]^+$; 1H -NMR: δ 0.09 (SiMe, 3 H), 1.00 [($CMe_3)_2$, 18 H], 1.24 (OCH_2Me , $^3J_{HH}$ = 7.1 Hz, 3 H), 1.74 (N=C-Me, 3 H), 3.20 (N=C-CH₂, 2 H), 4.12

(OCH_2Me , $^3J_{HH}$ = 7.1 Hz, 2 H), 5.04 (NH, 1 H); ^{13}C -NMR: δ –8.65 (SiMe), 12.58 (N=C-Me), 14.11 (OCH_2Me); 20.09 (CMe_3), 28.14 (CMe_3), 44.62 (N=C-CH₂), 60.43 (OCH_2Me), 136.89 (N=C), 171.07 (C=O); ^{29}Si -NMR: δ 8.78.

3.1.4. *cis*-Acetessigsäureethylester-*N*-(di-*tert*-butyl-methylsilyl)hydrazone (2b**)**

$C_{15}H_{32}N_2O_2Si$ (300.52). Ausbeute: 16%. 1H -NMR: δ 0.12 (SiMe, 3 H), 1.01 [($CMe_3)_2$, 18 H], 1.25 (OCH_2Me , t, $^3J_{HH}$ = 7.1 Hz, 3 H), 1.97 (N=C-Me, 3 H), 3.16 (N=C-CH₂, 2 H), 4.14 (OCH_2Me , q, $^3J_{HH}$ = 7.1 Hz, 2 H), 5.55 (NH, 1 H); ^{13}C -NMR: δ –8.72 (SiMe), 14.11 (OCH_2Me), 20.04 [($CMe_3)_2$], 24.26 (N=C-Me), 28.11 [($CMe_3)_2$], 35.71 (N=C-CH₂), 61.03 (OCH_2Me), 135.04 (N=C), 168.79 (C=O); ^{29}Si -NMR: δ 8.90.

3.1.5. *trans*-Acetessigsäureethylester-*N*-(*tert*-butyl-di-isopropylsilyl)hydrazone (3a**)**

$C_{16}H_{34}N_2O_2Si$ (314.54). Ausbeute: 61%. Sdp. 96°C/0.01 mbar. MS (EI): m/z (%) 314(10) [$M]^+$, 257(100) [$M-CMe_3]^+$; 1H -NMR: δ 0.93 (OCH_2Me , t, $^3J_{HH}$ = 7.1 Hz, 3 H), 1.08 (CMe_3 , 9 H), 1.11–1.29 [($CHMe_2$)₂, m, 14 H], 1.45 (N=C-Me, 3 H), 3.08 (N=C-CH₂, 2 H), 3.89 (OCH_2Me , q, $^3J_{HH}$ = 7.1 Hz, 2 H), 4.99 (NH, 1 H); ^{13}C -NMR: δ 12.28 (N=C-Me), 12.40 ($CHMe_2$), 14.16 (OCH_2Me), 19.22 ($CHMe_A$), 19.28 ($CHMe_B$), 20.33 (CMe_3), 28.70 (CMe_3), 44.61 (N=C-CH₂), 60.23 (OCH_2Me), 137.62 (N=C), 170.42 (C=O); ^{29}Si -NMR: δ 4.93.

3.1.6. *cis*-Acetessigsäureethylester-*N*-(*tert*-butyldiiso-propylsilyl)hydrazone (3b**)**

$C_{16}H_{34}N_2O_2Si$ (314.54). Ausbeute: 23%. 1H -NMR: δ 0.89 (OCH_2CH_3 , t, $^3J_{HH}$ = 5.5 Hz, 3 H), 1.12 (CMe_3 , 9 H), 1.16–1.29 [($CHMe_2$)₂, m, 14 H], 1.87 (N=C-Me, 3 H), 2.84 (N=C-CH₂, 2 H), 3.83 (OCH_2CH_3 , q, $^3J_{HH}$ = 5.5 Hz, 2 H), 5.56 (NH, 1 H); ^{13}C -NMR: δ 12.46 ($CHMe_2$), 14.09 (OCH_2Me), 19.25 ($CHMe_A$), 19.28 ($CHMe_B$), 20.36 (CMe_3), 24.41 (N=C-Me), 28.74 (CMe_3), 35.89 (N=C-CH₂), 60.86 (OCH_2Me), 135.49 (N=C), 168.35 (C=O); ^{29}Si -NMR: δ 5.08.

3.1.7. *trans*-4-Oxo-pentansäureethylester-*N*-(di-*tert*-butylphenylsilyl)hydrazone (4a**)**

$C_{21}H_{36}N_2O_2Si$ (376.61). Ausbeute: 77%. Sdp. 139°C/0.01 mbar. MS (EI): m/z (%) 376(5) [$M]^+$, 319(100) [$M-CMe_3]^+$; 1H -NMR: δ 0.91 (OCH_2Me , t, $^3J_{HH}$ = 7.1 Hz, 3 H), 1.14 [($CMe_3)_2$, 18 H], 1.33 (N=C-Me, 3 H), 2.2–2.5 (CH_2CH_2 , m, 4 H), 3.88 [(OCH_2Me), q, $^3J_{HH}$ = 7.1 Hz, 2 H], 5.16 (NH, 1 H), 7.2–7.8 (C_6H_5 , m, 5 H); ^{13}C -NMR: δ 13.05 (N=C-Me), 14.24 (OCH_2Me), 20.53 (CMe_3), 29.12 (CMe_3), 30.62 (CH_2), 33.34 (CH_2), 59.88 (OCH_2Me), 127.67 [Ph (C-2, C-6/C-3, C-5)], 129.14 [Ph (C-1/C-4)], 135.7 [Ph (C-2, C-6/C-3, C-5)], 136.23 [Ph (C-1/C-4)], 142.78 (N=C), 172.61 (C=O); ^{29}Si -NMR: δ –2.96.

Tabelle 3
Atomkoordinaten ($\times 10^4$) und äquivalente isotrope Auslenkungsparameter ($pm^2 \times 10^{-1}$) für **9**^a

	<i>x</i>	<i>y</i>	<i>z</i>	<i>U</i> _{eq}
Si(1')	2550(1)	1856(1)	8771(1)	27(1)
Si(1)	7660(1)	7658(1)	5512(1)	32(1)
O(1')	1905(2)	2682(1)	8114(1)	37(1)
O(1)	8072(2)	6707(2)	6117(1)	44(1)
N(1)	6061(3)	6579(2)	7041(1)	40(1)
N(1')	2926(2)	4239(2)	8311(1)	35(1)
C(1')	2442(3)	4977(2)	7167(2)	34(1)
C(1)	7199(3)	5324(2)	7758(2)	44(1)
Si(2)	4099(1)	6078(1)	8195(1)	40(1)
N(2')	3038(2)	5115(2)	7861(1)	33(1)
C(2')	1929(3)	4030(2)	7163(2)	33(1)
N(2)	5896(3)	5965(2)	7687(1)	36(1)
C(2)	8210(3)	5527(2)	7176(2)	41(1)
C(3)	7452(3)	6301(2)	6754(1)	32(1)
C(3')	2254(3)	3619(2)	7880(1)	30(1)
C(4')	2398(4)	5780(2)	6557(2)	51(1)
C(4)	7385(4)	4547(3)	8383(2)	83(1)
C(5')	4721(3)	1637(2)	8655(1)	31(1)
C(5)	5766(3)	7532(2)	5078(2)	36(1)
C(6)	7913(3)	8899(2)	6022(2)	44(1)
C(6')	1477(3)	717(2)	8557(2)	35(1)
C(7)	9263(3)	7365(2)	4763(1)	31(1)
C(7')	1870(3)	2378(2)	9741(2)	38(1)
C(8)	9598(3)	8024(2)	4157(2)	39(1)
C(8')	2326(4)	1901(3)	10413(2)	53(1)
C(9)	10820(3)	7788(2)	3631(2)	42(1)
C(9')	1776(5)	2282(4)	11127(2)	83(1)
C(10)	11735(3)	6885(2)	3685(2)	45(1)
C(10')	740(6)	3134(4)	11177(3)	100(2)
C(11)	11432(3)	6216(2)	4272(2)	42(1)
C(11')	278(5)	3621(3)	10532(3)	90(2)
C(12)	10210(3)	6450(2)	4800(2)	34(1)
C(12')	829(4)	3248(2)	9818(2)	58(1)
C(21)	3208(4)	7371(2)	7997(2)	63(1)
C(21')	4311(5)	5852(3)	9223(2)	68(1)
C(51')	5337(3)	539(2)	8861(2)	40(1)
C(51)	5659(3)	6377(2)	4963(2)	49(1)
C(52')	5268(3)	1835(2)	7822(2)	42(1)
C(52)	5715(3)	8044(2)	4289(2)	45(1)
C(53')	5426(3)	2372(2)	9183(2)	42(1)
C(53)	4367(3)	7976(2)	5583(2)	45(1)
C(61)	9584(4)	8853(3)	6234(2)	76(1)
C(61')	1956(4)	285(2)	7752(2)	46(1)
C(62)	6859(5)	9050(3)	6758(2)	64(1)
C(62')	1683(3)	–146(2)	9150(2)	41(1)
C(63)	7591(4)	9832(2)	5506(2)	56(1)
C(63')	–239(3)	1097(2)	8582(2)	49(1)

^a U_{eq} wird berechnet als ein Drittel der Spur des orthogonalen U_{ij} -Tensors.

3.1.8. *cis*-4-Oxo-pentansäureethylester-N-(di-*tert*-butylphenylsilyl)hydrazone (**4b**)

$C_{21}H_{36}N_2O_2Si$ (376.61). Ausbeute: 13%. 1H -NMR: δ 0.94 (OCH_2Me , t, $^3J_{HH}$ = 7.2 Hz, 3 H), 1.20 [(CMe₃)₂, 18 H], 1.74 (N=C–Me, 3 H), 2.2–2.5 (CH_2CH_2 , m, 4 H), 3.90 (OCH_2Me , q, $^3J_{HH}$ = 7.2 Hz, 2 H), 5.85 (NH, 1 H), 7.2–7.8 (C_6H_5 , m, 5 H); ^{13}C -NMR: δ 14.62 (OCH_2Me), 20.78 (CMe₃), 22.75 (CH₂), 28.24 (N=C–Me), 29.19 (CMe₃), 30.14 (CH₂), 60.75 (OCH_2Me), 127.6–127.7 [Ph (C-2, C-6/C-3, C-5)], 129.08 [Ph (C-1/C-4)], 136.00 [Ph (C-2, C-6/C-3, C-5)], 136.75 [Ph (C-1/C-4)], 142.80 (N=C), 172.70 (C=O); ^{29}Si -NMR: δ –2.86.

3.2. Pyrazolone **5–7**

0.02 mol **1**, **(2)**, **(3)** werden 1 h auf 200°C erhitzt, wobei das entstehende Ethanol kontinuierlich abdestilliert wird. Komplexe **5–7** werden im Ölumpenvakuum destillativ gereinigt.

3.2.1. 5-(Di-*tert*-butylphenylsiloxy)-3-methyl-1,2-diaza-3,5-cyclopentadien (**5**)

$C_{18}H_{28}N_2OSi$ (316.52). Ausbeute: 72%. Sdp. 148°C/0.01 mbar. Fp. 116°C. MS (EI): m/z (%) 316(3) [M]⁺, 259(100) [M –CMe₃]⁺; 1H -NMR: δ 1.24 [Si(CMe₃)₂, 18 H], 1.60 (Me–C=C, d, $^4J_{HH}$ = 0.6 Hz, 3 H), 5.49 (H–C=C, d, $^4J_{HH}$ = 0.6 Hz, 1 H), 7.2–7.9 (C_6H_5 , 5 H), 9.87 (NH, 1 H); ^{13}C -NMR: δ 11.09 (Me–C=C), 21.37 (CMe₃), 28.50 (CMe₃), 93.16 (H–C=C), 127.65 [Ph (C-2, C-6/C-3, C-5)], 129.43 [Ph (C-1/C-4)], 135.16 [Ph (C-1/C-4)], 135.55 [Ph (C-2, C-6/C-3, C-5)], 139.72 (H–C=C), 160.47 (C=N); ^{29}Si -NMR: δ 5.18.

3.2.2. 5-(Di-*tert*-butylmethysiloxy)-3-methyl-1,2-diaza-3,5-cyclopentadien (**6**)

$C_{13}H_{26}N_2OSi$ (254.45). Ausbeute: 65%. Sdp. 104°C/0.01 mbar. MS (FI): m/z (%) 254(84) [M]⁺; 1H -NMR: δ 0.21 (SiMe, 3 H), 1.03 [(SiCMe₃)₂, 18 H], 2.18 (Me–C=C, d, $^4J_{HH}$ = 0.7 Hz, 3 H), 5.37 (H–C=C, q, $^4J_{HH}$ = 0.7 Hz, 1 H), 8.9–9.2 (NH, b, 1 H); ^{13}C -NMR: δ –7.91 (SiMe), 11.73 (Me–C=C), 20.59 [(CMe₃)₂], 27.52 [(CMe₃)₂], 92.64 (H–C=C), 140.29 (Me–C=C), 160.27 (C=N); ^{29}Si -NMR: δ 19.89.

3.2.3. 5-(*tert*-Butyldiisopropylsiloxy)-3-methyl-1,2-diaza-3,5-cyclopentadien (**7**)

$C_{14}H_{28}N_2OSi$ (268.47). Ausbeute: 80%. Sdp. 115°C/0.01 mbar. MS (EI): m/z (%) 268(2) [M]⁺, 211(100) [M –CMe₃]⁺; 1H -NMR: δ 1.20 (CMe₃, 9 H), 1.22 [(CHMe_A)₂, d, $^3J_{HH}$ = 3.0 Hz, 6 H], 1.26 [(CHMe_B)₂, d, $^3J_{HH}$ = 3.1 Hz, 6 H], 1.5–1.6 [(CHMe₂)₂, m, 2 H], 1.75 (C=C–Me, d, $^4J_{HH}$ = 0.7 Hz, 3 H), 5.44 (H–C=C, d, $^4J_{HH}$ = 0.7 Hz, 1 H), 9.3–10.9 (NH, 1 H); ^{13}C -NMR: δ 11.18 (C=C–Me), 13.36 [(CHMe₂)₂], 18.78 [(CHMe_A)₂], 18.83 [(CHMe_B)₂], 21.00 (CMe₃), 28.35 (CMe₃), 92.86

(H–C=C), 139.67 (H–C=C), 160.84 (C=N); ^{29}Si -NMR: δ 15.62.

3.3. Verbindungen **8** und **9**

0.1 mol Triethylamin, gelöst in 100 ml *n*-Hexan, werden mit 0.01 mol Chlortrimethylsilan (**8**) bzw. 0.005 mol Dichlordimethylsilan (**9**) versetzt. Anschließend wird eine Lösung von 0.01 mol **7** (**8**) bzw. von 0.01 mol **5** (**9**) in 50 ml *n*-Hexan langsam zugetropft und 3 h unter Rückfluß erhitzt. Nach Abkühlung auf Raumtemp. wird vom entstandenen Triethylaminhy-

Tabelle 4
Kristalldaten und Strukturverfeinerung für **5** und **9**

	5	9
Summenformel	$C_{18}H_{28}N_2Osi$	$C_{38}H_{60}N_4O_2Si_3$
Molmasse	316.51	689.17
Temperatur	153(2) K	153(2) K
Wellenlänge	71.073 pm	71.073 pm
Kristallsystem	Triklin	Triklin
Raumgruppe	$P\bar{1}$	$P\bar{1}$
Zelldimensionen	$a = 896.7(2)$ pm $\alpha = 74.170(10)^\circ$ $b = 956.8(2)$ pm $\beta = 79.410(10)^\circ$ $c = 1244.8(2)$ pm $\gamma = 65.520(10)^\circ$	$a = 881.8(4)$ pm $\alpha = 89.85(2)^\circ$ $b = 1311.7(3)$ pm $\beta = 86.46(2)^\circ$ $c = 1752.0(3)$ pm $\gamma = 84.50(4)^\circ$
Zellvolumen, Z	9.321(3) nm ³ , 2	2.0132(10) nm ³ , 2
Berechnete Dichte	1.128 Mg m ^{–3}	1.137 Mg m ^{–3}
Absorptionskoeffizient	0.130 mm ^{–1}	0.154 mm ^{–1}
$F(000)$	344	748
Kristallgröße	1.00 × 0.70 × 0.40 mm	0.40 × 0.40 × 0.30 mm
Gemessener θ -Bereich	3.58 bis 25.06 °	3.64 bis 25.06°
Indexgrenzen	$-10 \leq h \leq 9$, $-11 \leq k \leq 11$, $-14 \leq l \leq 10$	$-10 \leq h \leq 10$, $-15 \leq k \leq 15$, $-20 \leq l \leq 20$
Anzahl der gemessenen Reflexe	3703	9883
Unabhängige Reflexe	3288 [$R_{int} = 0.0129$]	7092 [$R_{int} = 0.0320$]
Strukturverfeinerung	Vollmatrix Least-Squares an F^2	Vollmatrix Least-Squares an F^2
Daten	3287 = 0 = 210	7067 = 0 = 440
= Restraints		
= Parameter		
Goodness-of-Fit an F^2	1.050	1.043
Endgültige R -Werte [$I > 2\sigma(I)$]	$R_1 = 0.0355$, $wR_2 = 0.0915$	$R_1 = 0.0483$, $wR_2 = 0.1111$
R-Werte (sämtliche Daten)	$R_1 = 0.0387$, $wR_2 = 0.0960$	$R_1 = 0.0693$, $wR_2 = 0.1347$
Größtes Maximum und Minimum	383 und –218 e nm ^{–3}	259 und –253 e nm ^{–3}

drochlorid abgetrennt. Destillation im Ölpumpenvakuum liefert **8** bzw. **9**.

3.3.1. 5-(*tert*-Butyldiisopropylsiloxy)-3-methyl-2-trimethylsilyl-1,2-diaza-3,5-cyclopentadien (**8**)

$C_{17}H_{36}N_2OSi_2$ (340.66). Ausbeute: 35%. Sdp. 128°C/0.01 mbar. MS (EI): m/z (%) 340(3) [M]⁺, 283(100) [M-CMe₃]⁺. ¹H-NMR: δ 0.25 (SiMe₃, 9 H), 1.20 (CMe₃, 9 H), 1.2–1.3 [(CHMe₂)₂, m, 12 H], 1.5–1.7 [(CHMe₂)₂, m, 2 H], 1.88 (C=C-Me, d, ⁴J_{HH} = 0.8 Hz, 3 H), 5.51 (H-C=C, q, ⁴J_{HH} = 0.8 Hz, 1 H); ¹³C-NMR: δ 0.46 (SiMe₃), 13.15 (C=C-Me), 13.24 [(CHMe₂)₂], 18.89 [(CHMe₂)₂], 20.97 (CMe₃), 28.53 (CMe₃), 96.80 (H-C=C), 146.09 (H-C=C), 162.73 (C=N); ²⁹Si-NMR: δ 12.25 (SiMe₃), 15.84 (SiO).

3.3.2. Bis(3-methyl-5-di-*tert*-butylphenylsiloxy)-1,2-diaza-3,5-cyclopentadienyl-dimethylsilan (**9**)

$C_{38}H_{60}N_4O_2Si_3$ (689.18). Ausbeute: 30%. Sdp. 172°C/0.01 mbar. Fp. 160°C. MS (EI): m/z (%) 688(3) [M]⁺, 631(100) [M-CMe₃]⁺; ¹H-NMR: δ 0.57 (SiMe₂, 6 H), 1.26 [(CMe₃)₂, 36 H], 1.73 (Me-C=C, d, ⁴J_{HH} = 0.8 Hz, 6 H), 5.59 (H-C=C, q, ⁴J_{HH} = 0.8 Hz, 2 H), 7.1–7.9 (C₆H₅, 10 H); ¹³C-NMR: δ –0.58 (SiMe₂), 12.14 (C=CMe), 21.36 (CMe₃), 28.50 (CMe₃), 98.43 (H-C=C), 127.50 [Ph (C-2, C-6/C-3, C-5)], 129.35 [Ph (C-1/C-4)], 135.03 [Ph (C-1/C-4)], 135.51 [Ph (C-2, C-6/C-3, C-5)], 147.60 (H-C=C), 162.86 (C=N); ²⁹Si-NMR: δ 2.53 (SiMe₂), 5.75 (SiO).

3.4. Röntgenstrukturanalysen von **5** und **9** [7]

Eine Zusammenfassung der Datensammlungsver-

fahren und der Kristalldaten der Strukturen wird in Tabelle 4 gegeben. Die Datensammlung wurde auf einem Stoe-Siemens-AED-Vierkreisdiffraktometer mit graphitmonochromatischer Mo-K_α-Strahlung (λ = 71,069 pm) bei –120°C durchgeführt. Die Struktur wurde mit Direkten Methoden gelöst und nach dem Kleinste-Quadrat-Verfahren verfeinert (SHELXL-93) [8].

Anerkennung

Für die Unterstützung der Arbeit danken wir dem Fonds der Chemischen Industrie und der Deutschen Forschungsgemeinschaft.

Literatur

- [1] W. Beyer, Lehrbuch der Organischen Chemie, Hirzel-Verlag, Stuttgart, 21. Auflage, 1988.
- [2] K. Knipping, C. Drost, U. Klingebiel, M. Noltemeyer, Z. anorg. allg. Chem. 622 (1996) 1215.
- [3] U. Klingebiel, K. Knipping, H. Witte-Abel, Z. Naturforsch. 52b (1997) 1049.
- [4] U. Wannagat, Adv. Inorg. Chem. Radiochem. 6 (1964) 225.
- [5] A.G. Brook und, K. Baines, Adv. Organomet. Chem. 25 (1986) 1.
- [6] G. Becker, Z. anorg. allg. Chem. 423 (1976) 242.
- [7] Weitere Einzelheiten zur Kristallstrukturuntersuchung können beim Fachinformationszentrum Karlsruhe, Gesellschaft für wissenschaftlich-technische Information mbH, D-76344 Eggenstein-Leopoldshafen, unter Angabe der Hinterlegungsnummern CSD-408706, CSD-408707, der Autoren und des Zeitschriftenzitats angefordert werden.
- [8] G.M. Sheldrick, SHELXL-93, Programm zur Strukturbestimmung, Universität Göttingen.